レプトジェンシスにおける グラビティーノ問題と Rパリティの破れ

10 01

進藤哲央(工学院大学)

- W. Buchmuller, A. Ibarra, T. S, F. Takayama and D. Tran, arXiv:0906.1187 [hep-ph]
- W. Buchmuller, M. Endo and T. S, JHEP 0811, 079
- M.~Endo and T.~S, arXiv:0903.1813 [hep-ph].

1.イントロダクション

シーソー機構

- シーソー機構では、標準模型の2つの問題が解決する
 - * 有限のニュートリノ質量の存在
 - *標準模型はニュートリノ質量が0になるように構築されている。
 - * ニュートリノ振動 $\Delta m_{\rm atm}^2 \sim 2.5 \times 10^{-3} {\rm eV}^2 \quad \sin^2 2\theta_{\rm atm} \simeq 1$ $\Delta m_{\odot}^2 \sim 8.5 \times 10^{-5} {\rm eV}^2 \quad \tan^2 \theta_{\odot} \simeq 0.4$
 - * 宇宙のバリオン数生成の問題
 - $\eta_B = (6.21 \pm 0.16) \times 10^{-10}$
 - 一標準模型だけでは説明が困難

シーソー機構

シーソー機構は標準模型のシンプルな拡張

- ⇒ 標準模型に右巻きニュートリNを導入
- * 右巻きニュートリノは、SMのチャージを持たない

* 重いマヨラナ質量 ニュートリノ質量

$$-\mathcal{L} = Y_{E}\bar{e}_{R}l_{L} \cdot \bar{\phi} + Y_{N}\bar{N}l_{L} \cdot \phi + \frac{1}{2}M_{R}\bar{N}N^{c}$$

$$\downarrow$$
右巻きニュートリノが十分重い
$$-\mathcal{L} = Y_{E}\bar{e}_{R}l_{L} \cdot \bar{\phi} - \frac{1}{2}\kappa(l_{L} \cdot \phi)^{2} \qquad \kappa = Y_{N}^{T}M_{R}^{-1}Y_{N}$$

$$\downarrow$$

$$-\mathcal{L} = (Y_{E}\langle \phi \rangle)\bar{e}_{R}e_{L} - \frac{1}{2}(\kappa\langle \phi \rangle^{2})\bar{\nu}_{L}^{c}\nu_{L}$$

Seesaw Relation

この模型では、ニュートリノ質量行列と、 Y_N、M_Rの間に関係式が成り立つ

 $m_{\nu} = U^* \operatorname{diag}(m_1, m_2, m_3) U^{\dagger} = \langle \phi \rangle^2 \kappa = \langle \phi \rangle^2 Y_N^T M_R^{-1} Y_N$



$$(Y_N)_{i\alpha} = \frac{1}{\langle \phi \rangle} \sqrt{M_i} R_{ij} \sqrt{m_j} U_{\alpha j}^*$$
 ($\mathbf{R}^T \mathbf{R} = 1$) のように Y_N をパラメトライズすると、自動的にシーソー関係式が満たされる。

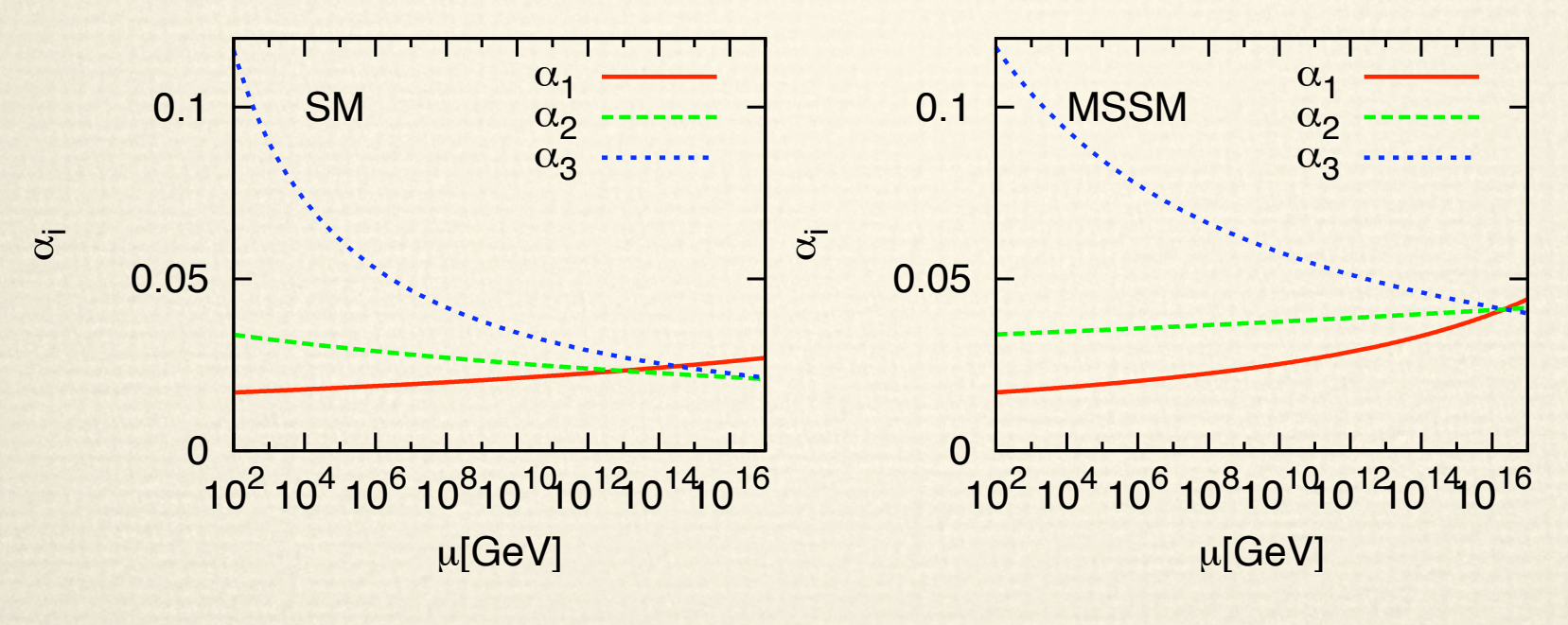
J. A. Casas and A. Ibarra, NPB618,171

MiやRを実験によって直接決めるのは、ほぼ不可能

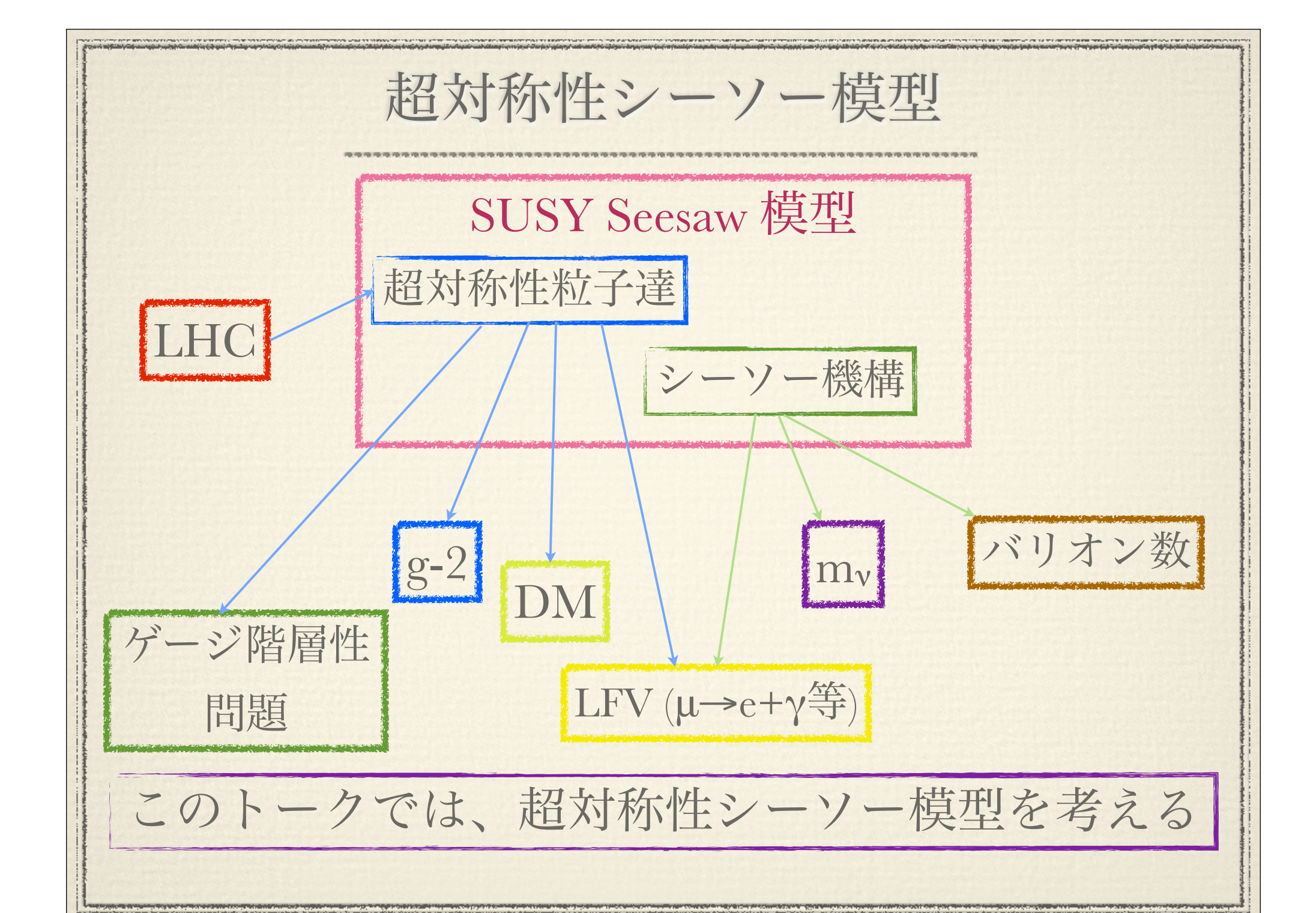
超対称性シーソー模型

超対称性模型は下記のような興味深い特徴がある

- ◆ 軽いHiggsが予言される (mh<120GeV)
- * ダークマターの候補が存在
- * 大統一理論と相性がよい



*
$$\xi = - \pi / g - 2$$
 $\delta a_{\mu} \equiv a_{\mu}(\exp) - a_{\mu}(SM) = 302(88) \times 10^{-11}$



レプトジェネシス

M. Fukugita and T. Yanagida, PLB174, 45

W. Buchmüller, P. Di Bari, and M. Plümacher, Annals. Phys. 315,305; G. F. Giudice et al, NPB685,89

基本的なアイデアは

- * NのCPを破るような崩壊が平衡からはずれたときに、B-L数が生成される(L数が作られるが、B数が作られない)
- ※ 標準模型では、100GeV<T<10¹²のときに、スファレロン過程(B, Lは破るがB-Lを保存する)が十分速い過程になる。
- * Nの崩壊で作られたB-Lが、スファレロン過程を 通じてBに化ける

レプトジェネシス

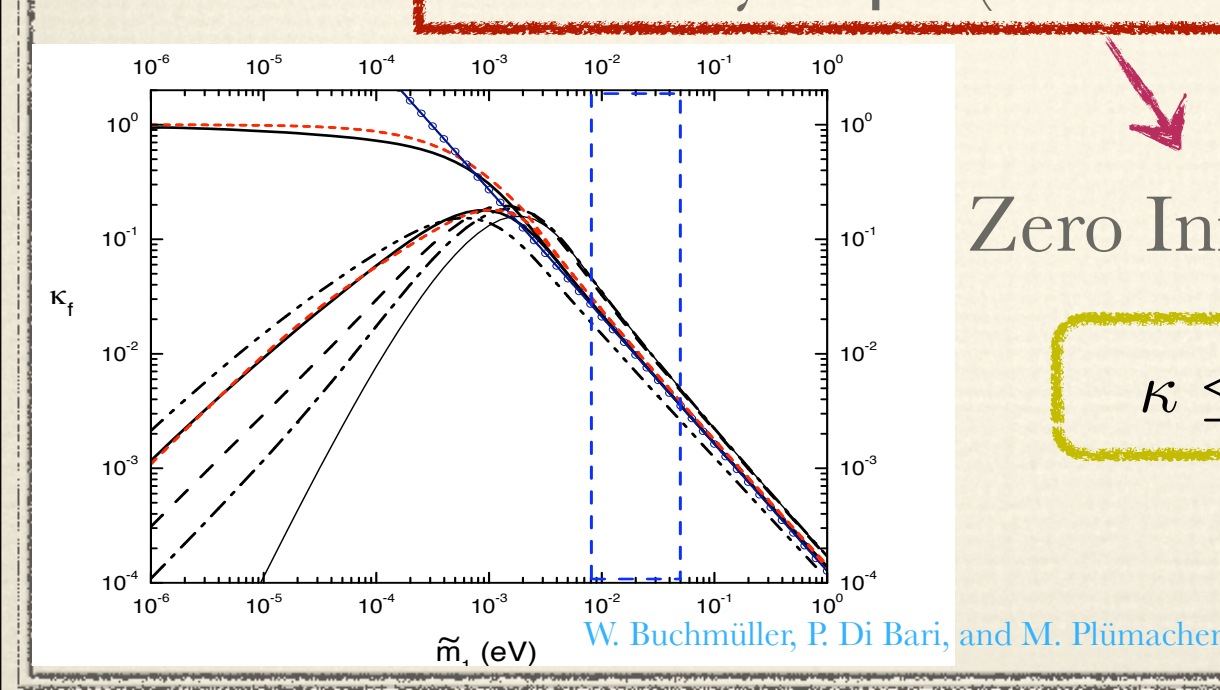
バリオン数の近似的見積もり

$$\eta_B = -1.0 \times 10^{-3} \left(\epsilon_1 \kappa(\tilde{m}) \right)$$

Sphaleron effect etc

efficiency CPV in N1 decay

WMAP5yr: $\eta_B = (6.21 \pm 0.16) \times 10^{-10}$

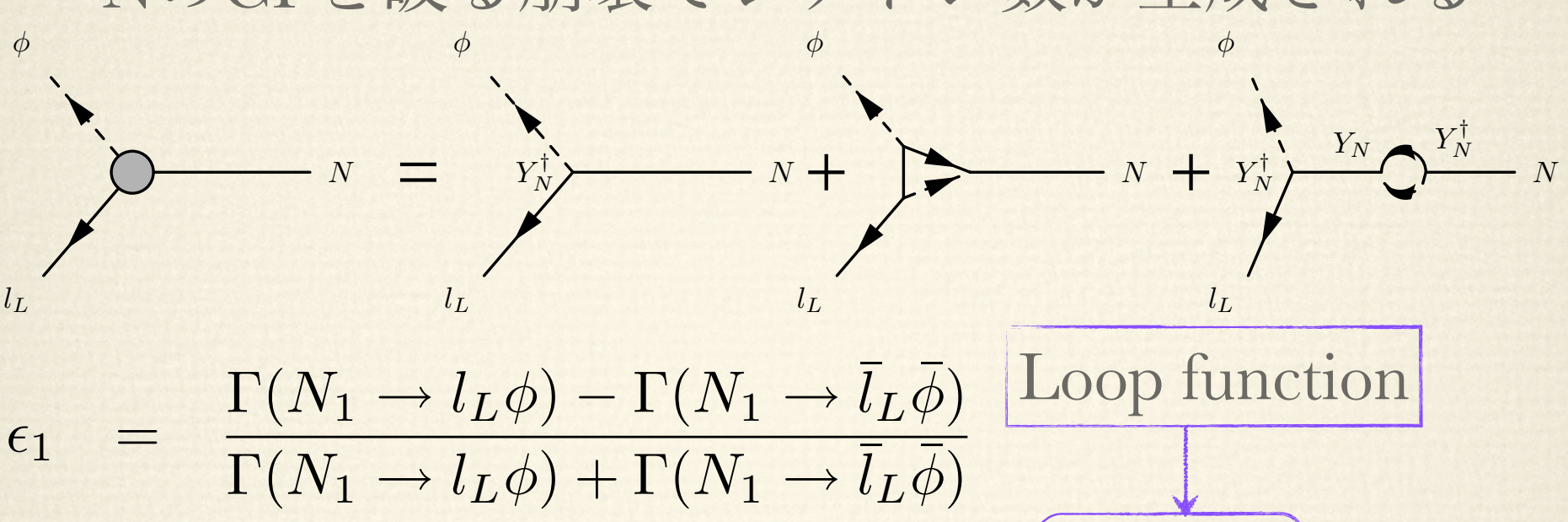


Zero Initial Conditionの場合

$$\kappa \le 0.2 \Rightarrow \epsilon_1 \ge 10^{-6}$$

CP非保存パラメータ

NのCPを破る崩壊でレプトン数が生成される



$$= \frac{1}{8\pi (Y_N Y_N^{\dagger})_{11}} \sum_{i \neq 1} \operatorname{Im} \left[(Y_N Y_N^{\dagger})_{i1}^2 \right] f\left(\frac{M_i^2}{M_1^2}\right)$$

$$\simeq -\frac{3}{8\pi (Y_N Y_N^{\dagger})_{11}} \sum_{i=1}^{\infty} \operatorname{Im}\left[(Y_N Y_N^{\dagger})_{i1}^2 \right] \frac{M_1}{M_i} M_1 \ll M_2, M_3$$

Lower bound on TR

S. Davidson and A. Ibarra, PLB533,25

$$\epsilon_{1} = -\frac{3}{8\pi(Y_{N}Y_{N}^{\dagger})_{11}} \sum_{i \neq 1} \operatorname{Im}\left[(Y_{N}Y_{N}^{\dagger})_{i1}^{2}\right] \frac{M_{1}}{M_{i}}$$

$$= -\frac{3M_{1}}{8\pi\langle H_{u}\rangle^{2}} \frac{\operatorname{Im}\sum_{i} m_{i}^{2} R_{1i}^{2}}{\sum m_{i}|R_{1i}^{2}|}$$

$$|\epsilon_1| \le \frac{3M_1}{8\pi \langle H_u \rangle^2} \frac{\Delta m_{\text{atm}}^2}{m_1 + m_3} \Longrightarrow M_1 \ge 1.4 \times 10^9 \text{GeV}$$

$$|\epsilon_1| \ge 10^{-6}$$

$$T_R \ge 1 \times 10^9 \text{GeV}$$

(標準的な熱的レプトジェネシスに対する制限)

グラビティーノ問題

宇宙全体のダークマターの量:

WMAP5yr $\rightarrow \Omega_{DM}h^2=0.1223$

熱的に生成されるグラビティーノの量の見積

$$\Omega_{3/2}h^2 \propto m_{3/2} \left(1 + \frac{M_{\tilde{g}}(T_R)^2}{3m_{3/2}^2}\right) T_R$$

$$\Omega_{3/2}h^2 \leq \Omega_{DM}h^2$$

$$T_R \le 2 \times 10^9 \text{GeV} \left(\frac{m_{3/2}}{100 \text{GeV}}\right) \left(\frac{m_{\text{gluino}}}{1 \text{TeV}}\right)^{-2}$$

等号は、グラビティーノがDMのとき成立

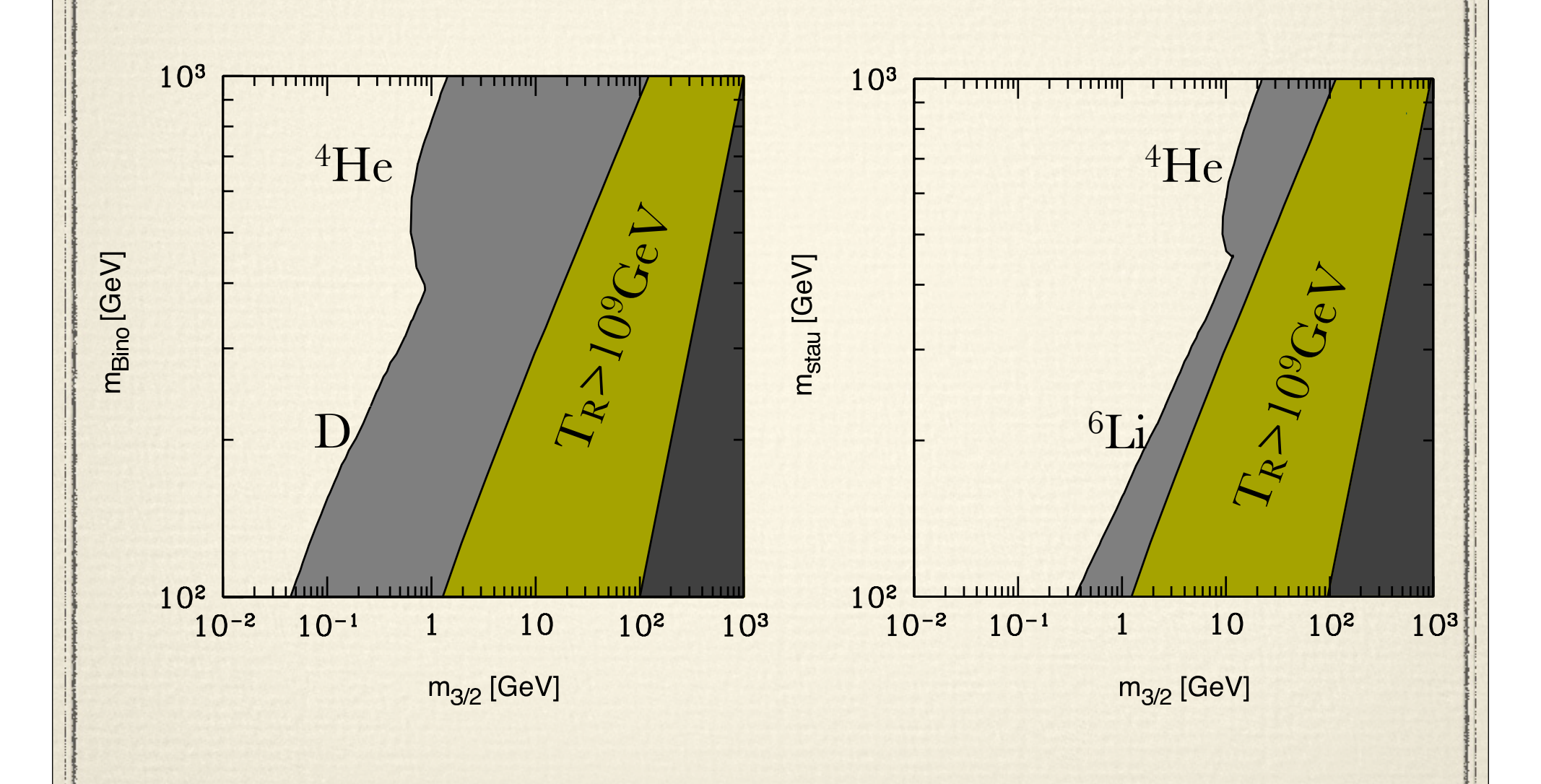
グラビティーノ問題

BBNの制限

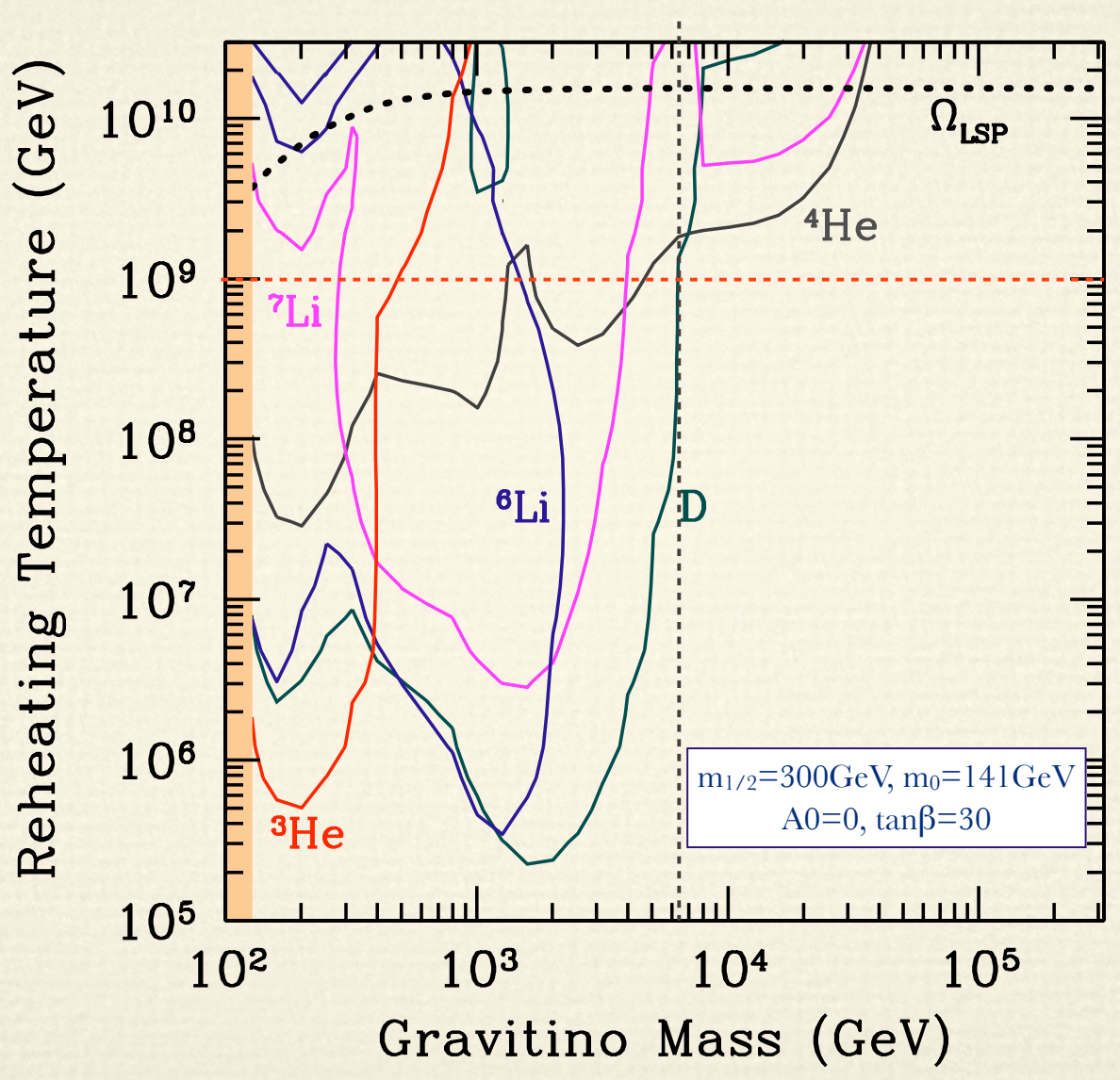
- * グラビティー/LSPシナリオ
 - * NLSPの崩壊がBBNを壊す
 - * neutralinoがNLSP:ハドロンシャワー→D
 - ** stauがNLSP:触媒効果 $\tilde{\tau}^4$ He + D \rightarrow ⁶Li + $\tilde{\tau}$
- * グラビティーノnon-LSPシナリオでも、BBNの 制限は厳しい

$$T_R \le 10^9 \text{GeV} \to m_{3/2} > \mathcal{O}(10^4) \text{GeV}$$

BBNの制限(グラビティー/LSP)



BBNの制限(グラビティーノnon-LSP)



M. Kawasaki, K. Kohri, T. Moroi, and A. Yotsuyanagi, PRD78, 065011

グラビティーノ問題 v.s. レプトジェネシス

標準的な熱的レプトジェネシスは SUSYと相性が悪い

 $T_R > 10^9 GeV \iff T_R < 10^8 GeV$

レプトジェネシス の要請 グラビティーノと 宇宙論の整合性

解決のための試行錯誤

- * レプトジェネシスのシナリオをいじる
 - * フレイバーレプトジェネシス
 - * レゾナントレプトジェネシス fine tuning?
 - * 右巻きニュートリノの非熱的生成
 - ※ ファインチューニング解 fine tuning?
 - * R-parity violationによるレプトジェネシス:
- * SUSYシナリオをいじる
 - * 重いnon-LSPグラビティーノ fine tuning?
 - *グラビティーノLSP with R-parity violation

MSSM with RPV

バイリニアにR-parityを破る項を導入する

$$\mathcal{L}_{RPV} = (\bar{M}_{HL}^2)_i H_d^* \tilde{L}_i + (\bar{B}_L)_i H_u \tilde{L}_i + \text{h.c.}$$

左巻きのsneutrinoがvevを持つ
$$\langle \tilde{\nu} \rangle \simeq \frac{\bar{M}_{HL}^2 \cos \beta + \bar{B}_L \sin \beta}{M_{\tilde{\nu}}^2} \frac{v}{\sqrt{2}}$$

Higgs vev

RPVの効果

- ☆BBNの制限が緩和される
 - * Bino NLSPの場合: Ã→Zv,Wl,hv
 - * Stau NLSPの場合: τ̃R→τν

TNLSP≤0.1secであれば、BBNの制限を逃れられる

$$\frac{\sqrt{2}\langle \tilde{\nu} \rangle}{v} \gtrsim 10^{-(11\sim12)}$$

☆gravitino(LSP)はもはや安定粒子ではない τ_{3/2}はm_{3/2}とsneutrino vevで決まる グラビティーノが十分長寿命(τ_{3/2}≥O(10²⁶⁻²⁷)sec)

$$\frac{\sqrt{2}\langle \tilde{\nu} \rangle}{v} \ll 10^{-(5\sim6)} \text{ for } m_{3/2} = O(100) \text{GeV}$$

II. 宇宙線への寄与

グラビティーノ崩壊のシグナル

RPVによる崩壊: ψ_{3/2}→hν, γν, Zν, W[±]e[∓]



anti-proton, positron, gamma-ray

の宇宙線に寄与する可能性

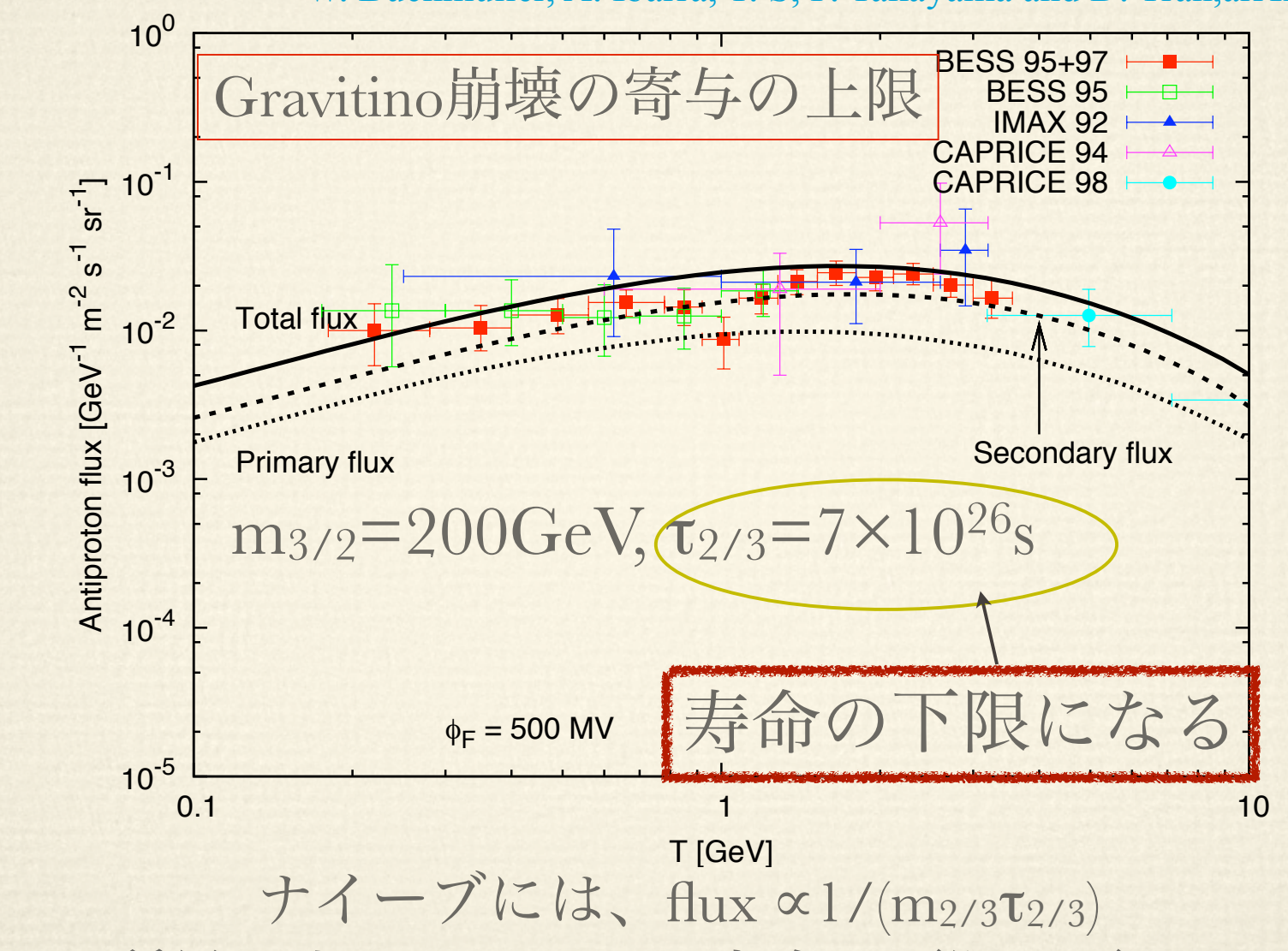
CAPRICE, BESS, IMAX, PAMELA

EGRET, Fermi LAT

HEAT, PAMELA, ATIC, Fermi LAT, HESS

anti-proton fluxからの制限

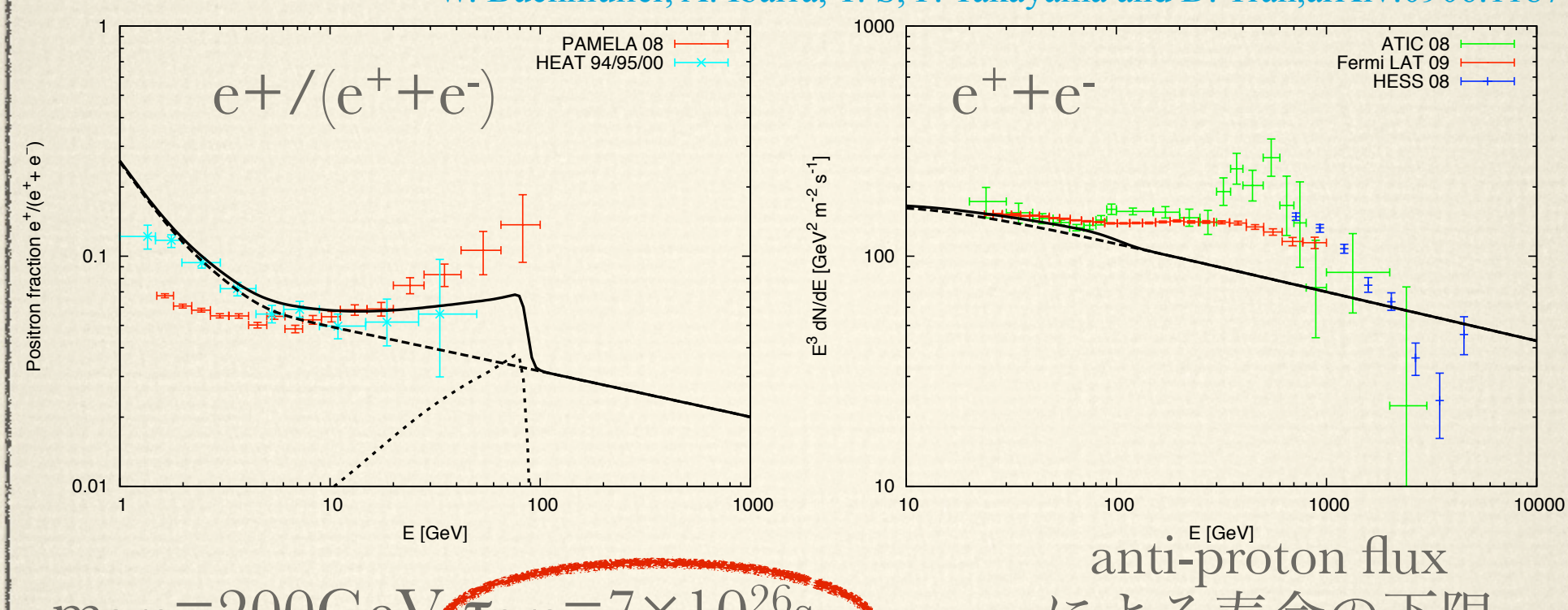




質量が大きくなると、寿命の下限が下がる

positron, e++e-

W. Buchmuller, A. Ibarra, T. S, F. Takayama and D. Tran, arXiv:0906.1187



 $m_{3/2}=200 \text{GeV} (\tau_{2/3}=7\times 10^{26} \text{s})$

による寿命の下限

(最大のfractionが期待)

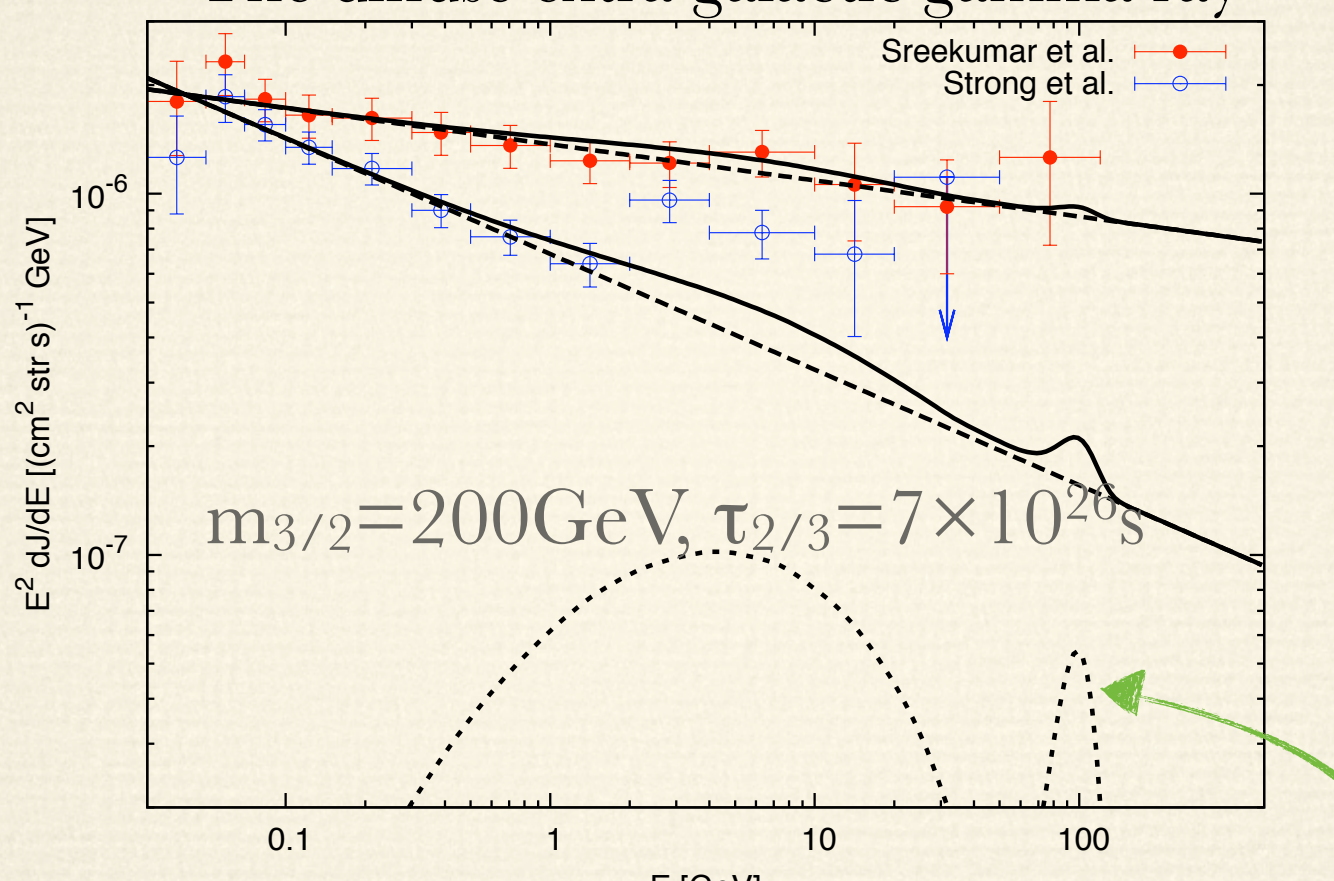
PAMELAやFermi LATのexcessを説明するには、

gravitino崩壊以外のソースが必要!!

ガンマ線(予言)

W. Buchmuller, A. Ibarra, T. S, F. Takayama and D. Tran, arXiv:0906.1187

The diffuse extra galactic gamma ray



- * m_{3/2}>200GeVでpower low からのずれ
- * E~m_{3/2}/2のところにline spectrum

III.再加熱温度と レプトジェネシス

グラビティーノ問題とレプトジェネシス

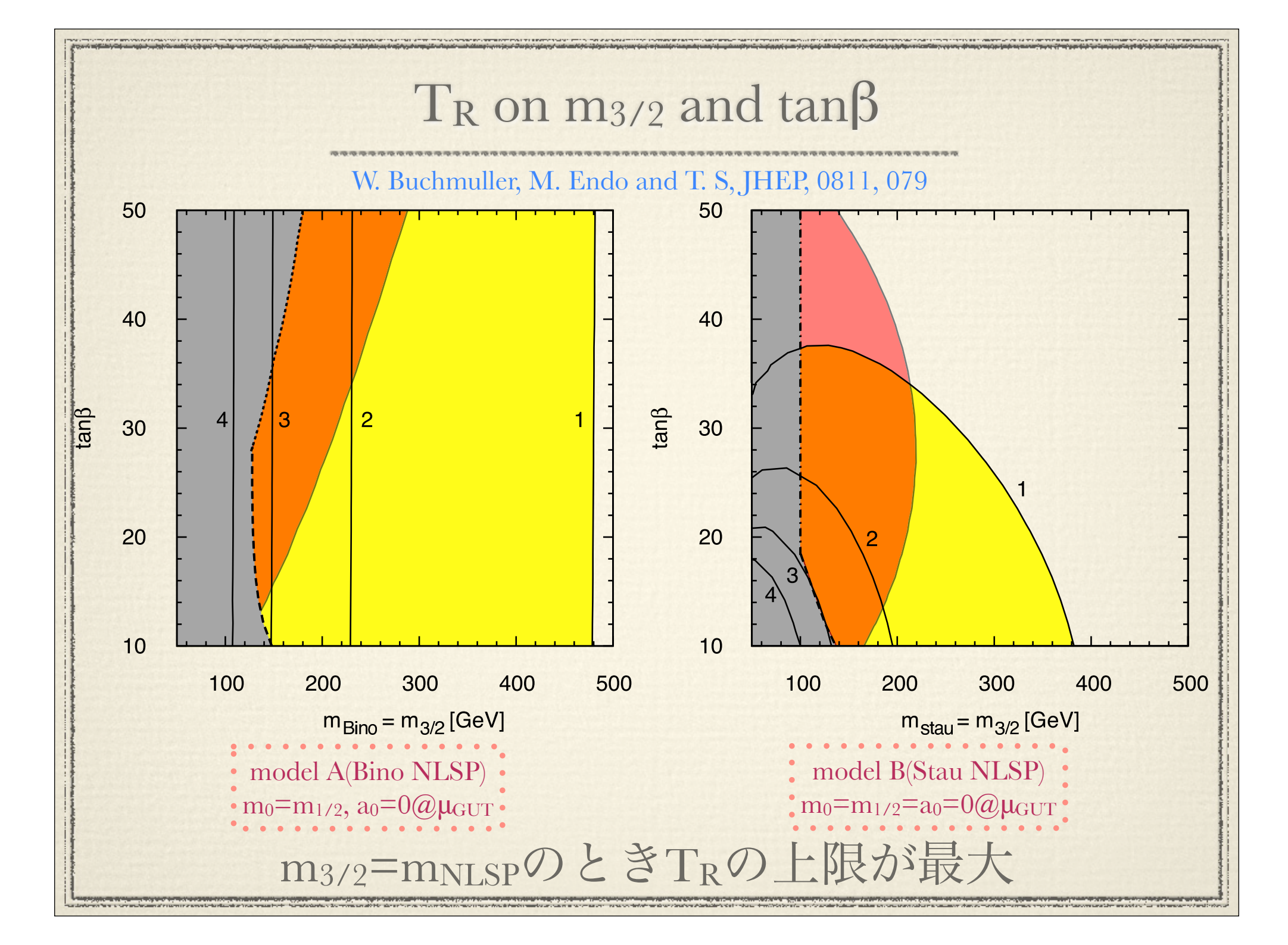
標準的レプトジェネシス⇒T_R>10°GeV これを実現するのは、どういう場合か?

$$\Omega_{3/2}h^2 \leq \Omega_{DM}h^2$$

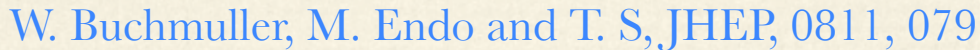
$$T_R \lesssim 2 \times 10^9 \text{GeV} \left(\frac{m_{3/2}}{m_{\text{NLSP}}}\right) \left(\frac{m_{3/2}}{100 \text{GeV}}\right) \left(\frac{m_{\text{gluino}}}{1 \text{TeV}}\right)^{-2}$$

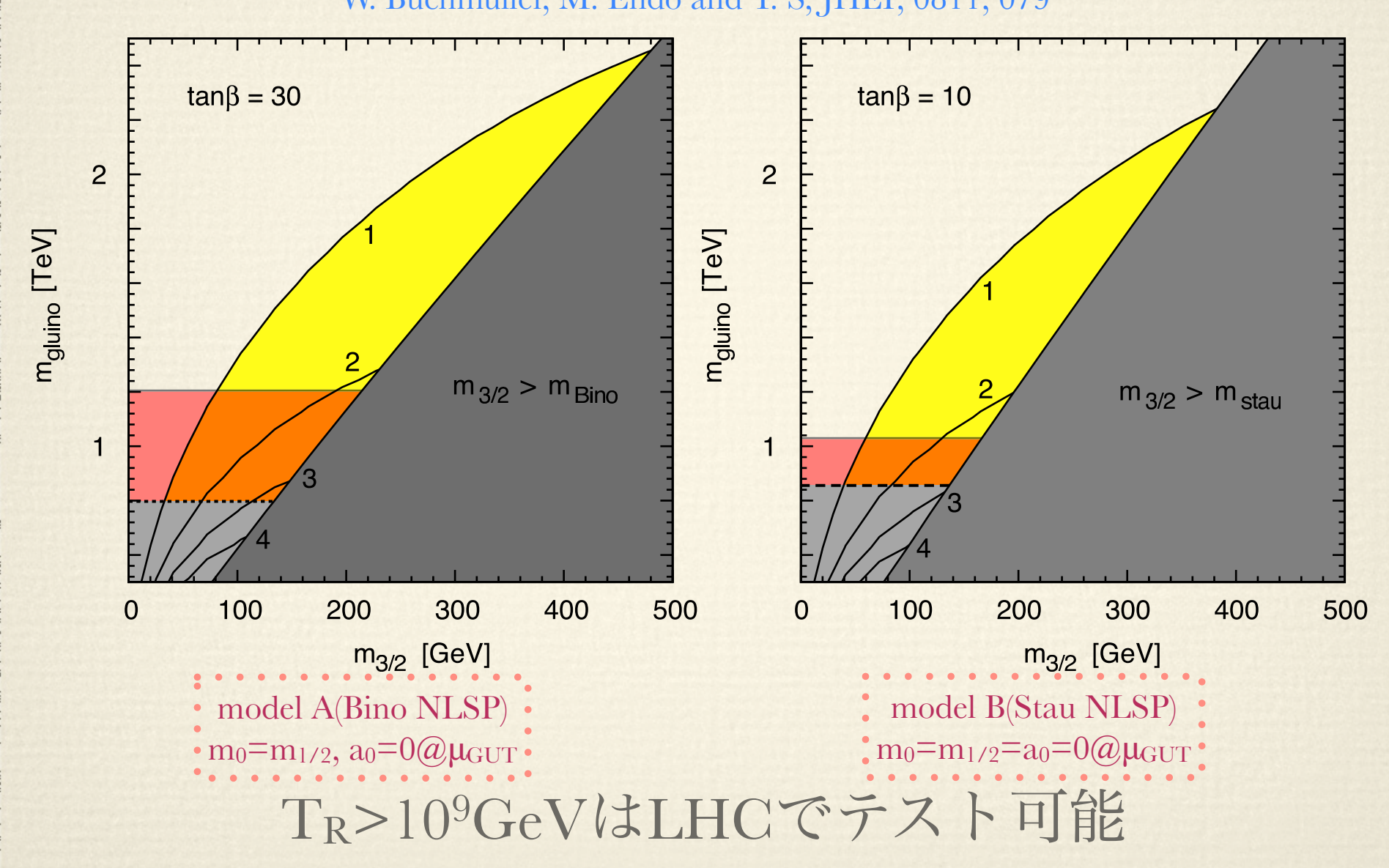
低エネルギースケールの観測量として、次を考える

- * ヒッグス質量の制限:mh≥114GeV
- * b \rightarrow s+ γ : 2×10⁻⁴ \leq Br(Bd \rightarrow Xs γ) \leq 4×10⁻⁴
- * m_{charged} > 100GeV
- * muon g-2: $a_{\mu}(\exp)-a_{\mu}(SM)=302(88)\times10^{-11}$



m_{3/2} and m_{gluino}





IV.毛デル

微小なRPVの起源を考える

M. Endo and T. S, arXiv:0903.1813

$$\tau_{3/2} \simeq 1 \times 10^{27} \operatorname{sec} \left(\frac{\eta}{10^{-9}}\right)^{-2} \left(\frac{m_{3/2}}{100 \operatorname{GeV}}\right)^{-3}, \quad \eta = \frac{\langle \tilde{\nu} \rangle}{v}$$

$$\tau_{3/2} > 10^{27} \operatorname{sec} \qquad \qquad \eta = 10^{-9} \left(\frac{m_{3/2}}{100 \operatorname{GeV}}\right)^{-3/2}$$
anti-proton flux

このように小さい量を自然に与える模型を考える

MSSM+RNで右巻きニュートリノセクターに RPV項を加える $W = Y_N N^c L H + \frac{M_N}{2} N^c N^c + \lambda N \bar{H}$

微小なsneutrinoのvev

右巻きニュートリノが十分重いとする
$$W = -\frac{\lambda Y_N(LH)(H\bar{H})}{M_N} - 種のSeesaw$$

この項によって、Higgsがvevを持ったとき

に、sneutrinoもvevを持つ

$$\langle ilde{
u} \rangle \simeq - rac{\lambda Y_N \mu v^3 \sin^3 \beta}{M_N M_{ ilde{
u}}^2} \qquad \qquad Y_N = rac{\sqrt{M_N \bar{m}_
u}}{\sin \beta}$$

$$\eta \simeq 0.6 \times 10^{-10} \lambda \left(\frac{M_N}{10^9 \text{GeV}}\right)^{-1/2} \left(\frac{M_{\tilde{\nu}}}{1 \text{TeV}}\right)^{-2} \left(\frac{\mu}{1 \text{TeV}}\right) \left(\frac{\bar{m}_{\nu}}{0.1 \text{eV}}\right)^{1/2} \sin^2 \beta$$

O(1)のRPVから、微小なRPVが得られた

RPV項のその他の役割

RPV項W=λNH中はDavidson-Ibarra boundを緩和する

$$\epsilon_{1} = -\frac{1}{8\pi} \frac{1}{(Y_{N}Y_{N}^{\dagger})_{11} + |\lambda_{1}|^{2}}$$

$$\times \sum_{i \neq 1} \operatorname{Im} \left[(Y_{N}Y_{N}^{\dagger})_{i1}(\lambda_{i}\lambda_{1}^{*}) f\left(\frac{M_{i}^{2}}{M_{1}^{2}}\right) + \frac{2(Y_{N}Y_{N}^{\dagger})_{i1}(\lambda_{i}^{*}\lambda_{1})}{M_{i}^{2}/M_{1}^{2} - 1} \right]$$

$$\epsilon_{1} \simeq 2 \times 10^{-4} \operatorname{Im}[c_{1}^{*}\lambda_{i}]$$

$$\times \left(\frac{M_{1}}{10^{8} \operatorname{GeV}}\right)^{1/2} \left(\frac{M_{i}/M_{1}}{10}\right)^{1/2} \left(\frac{\tilde{m}_{1}}{10^{-3} \operatorname{eV}}\right)^{-1/2} \left(\frac{\bar{m}_{\nu}'}{0.1 \operatorname{eV}}\right) \frac{1}{\sin^{2}\beta}$$

$$\begin{array}{lll}
\tilde{c}_{1} &=& \lambda_{1} v / \sqrt{M_{1} \tilde{m}_{1}} , & (Y_{N} Y_{N}^{\dagger})_{i1} = \bar{m}'_{\nu} \sqrt{M_{1} M_{i}} / v^{2} \sin^{2} \beta , \\
\tilde{m}_{1} &=& [(Y_{N} Y_{N}^{\dagger})_{11} + |\lambda_{1}|^{2}] v^{2} / M_{1}
\end{array}$$

TR≪109GeVでも十分なバリオン数が生成される

いまとめ

まとめ

- * レプトジェネシスはSUSYと相性が悪い
- * Rパリティを破る項を導入することにより、T_R=10⁹GeVを実現することが可能になる。
- * グラビティーノ崩壊が宇宙線に寄与
 - * anti-protonのfluxによって、寿命の下限が与えられる。
 - * PAMELA等で見えているずれをグラビティー ノの崩壊だけで説明するのは困難(パルサー等 の寄与が必要)
 - * Fermi LATによるガンマ線の観測で、グラビ ティーノからの寄与が見え得る

まとめ

- * T_R=10⁹GeVを実現するようなパラメータ領域では、比較的軽いgluinoが示唆⇒LHCで確認可
- * このような模型では、Rパリティを破る項が非常 に小さいことが要求されるが、そのような小さ なRパリティを破る項を与える模型を構築した。
 - * 右巻きニュートリノセクターのRPV項が、Seesawによって自然に小さくなる。
 - * レプトジェネシスに必要な T_R も小さくなり、 $T_R=10^8GeV$ 程度以下でも十分なバリオン数が得られる。
 - * ただし、M₁を小さくしすぎると、RPVを得る際にFine tuningが必要になる。

20 <u>94</u>

Fin

バックアップ

フレイバーレプトジェネシス

$10^9 \text{GeV} \le T_R \le 10^{12} \text{GeV}$

τ湯川相互作用(l₃→τ_R+φ)がハッブル 2 flavour case 膨張(H~T²/M_P)に比べて速くなる。

(てとそれ以外)

$T_R \le 10^9 GeV$

τとμの湯川相互作用がハッブル 膨張に比べて速くなる。

3 flavour case (e,μ,τ)

フレイバーによって、全レプトン数Lへの 寄与の仕方が変わる

フレイバーレプトジェネシス

例えば、3flavour caseでは

$$\eta_B = -0.02 \left(\epsilon_1^e \kappa \left(\frac{151}{179} \tilde{m}_1^e \right) + \epsilon_1^\mu \kappa \left(\frac{344}{537} \tilde{m}_1^\mu \right) + \eta_1^\tau \kappa \left(\frac{344}{537} \tilde{m}_1^\tau \right) \right)$$

$$\begin{bmatrix} \epsilon_1^{\alpha} & \simeq & \frac{1}{8\pi (Y_N Y_N^{\dagger})_{11}} \sum_{i \neq 1} \operatorname{Im} \left[(Y_N)_{i\alpha} (Y_N^{*})_{i\alpha} (Y_N Y_N^{\dagger})_{i1} \right] f \left(\frac{M_i^2}{M_1^2} \right) \\ \tilde{m}_1^{\alpha} & = & \frac{|(Y_N)_{1\alpha}^2|}{M_1} \langle \phi \rangle^2 \end{bmatrix}$$

MNS行列の位相が寄与する

しかし、フレイバーの効果を入れても、 T_R≥10⁹GeVが必要



レゾナントレプトジェネシス

$$\epsilon_{1} = \frac{1}{8\pi(Y_{N}Y_{N}^{\dagger})_{11}} \sum_{i \neq 1} \operatorname{Im}\left[(Y_{N}Y_{N}^{\dagger})_{i1}^{2} \right] f\left(\frac{M_{i}^{2}}{M_{1}^{2}}\right)$$

$$\simeq -\frac{3}{8\pi(Y_{N}Y_{N}^{\dagger})_{11}} \sum \operatorname{Im}\left[(Y_{N}Y_{N}^{\dagger})_{i1}^{2} \right] \frac{M_{1}}{M_{i}}$$

M₁ «M₂, M₃ のときに有効 (M₁=M₂で発散する)

 $M_1 \rightarrow M_2$ で $|\epsilon_1|$ が急激に増幅する

Davidson-Ibarra boundを超えることができる!!

例えば、M₁≈1TeVでもOK ただし、M1とM2が激しく縮退することが必要。

ファインチューニング解

M₁/M_iの高次項を考える

$$\epsilon_1 = \frac{1}{8\pi (Y_N Y_N^{\dagger})_{11}} \sum_{i \neq 1} \operatorname{Im} \left[(Y_N Y_N^{\dagger})_{i1}^2 \right] f\left(\frac{M_i^2}{M_1^2}\right)$$

$$\simeq \frac{M_1}{16\pi \sum_j m_j |R_{j1}|^2} \left(\sum_j m_j^2 R_{1j}^2 + \frac{7}{3} \sum_{j \neq 1} \sum_{l,l'} m_l m_{l'} R_{1l} R_{1l'} \left(R_{jl}^* R_{jl'}^* \frac{M_1^2}{M_j^2} \right) + \mathcal{O}(M_1^4/M_j^4) \right) .$$

Davidson-Ibarra bound

この項が効けば、TRを下げられる

 $R_{1l}R_{1l}$, が $(M_1/M_j)^2$ より大きければ可能

M. Raidal, A. Strumia, and K. Truzynski, PLB609,351

これはシーソー関係式にfine tuningを要求する